

مقایسه نتایج روش‌های زمین‌آماری خطی و غیرخطی در مدلسازی و ارزیابی ذخیره کانسار مس نارباغی شمالی ساوه

رضا احمدی^(۱)

۱. استادیار گروه مهندسی معدن، دانشکده مهندسی علوم زمین، دانشگاه صنعتی اراک

تاریخ دریافت: ۹۹/۰۶/۱۵

تاریخ پذیرش: ۹۹/۰۸/۰۶

چکیده

در پژوهش حاضر ارزیابی کانسار مس نارباغی شمالی ساوه با استفاده از روش‌های تخمین زمین‌آماری خطی و غیرخطی صورت گرفته و نتایج آنها با یکدیگر مقایسه شده است. برای این منظور ابتدا متوسط عیار و میزان ذخیره کانسار با روش‌های لگ کریجینگ و کریجینگ شاخص چندگانه با استفاده از نرم‌افزار SGeMS2 برای عیار حدۀای ۱۰۰۰، ۱۵۰۰، ۲۰۰۰ و ۲۵۰۰ گرمبرتن (ppm) محاسبه شد و نمودارهای عیار-تازه‌کانسار رسم شد. سپس به کمک نرم‌افزار Datamine مدلسازی کانسار صورت گرفت و متوسط عیار و میزان ذخیره کانسار با روش کریجینگ معمولی بلوکی نیز تخمین زده شد. نتایج پژوهش نشان می‌دهد که اختلاف ذخیره روش‌های لگ کریجینگ و کریجینگ معمولی بلوکی به‌ازای عیار حدۀای مذکور به‌ترتیب برابر با ۰/۹۶، ۰/۹۴، ۰/۹۱، ۰/۸۱، ۰/۷۳ و ۰/۶۳ درصد است. همچنین اختلاف ذخیره بین روش‌های کریجینگ شاخص و کریجینگ معمولی بلوکی نیز به‌ازای عیار حدۀای مذکور به‌ترتیب برابر با ۱۳/۴۵، ۱۳/۴۵، ۹/۲۱، ۹/۲۱ و ۱۴/۷۳ درصد است. به‌طورکلی نزدیک بودن نتایج تخمین متوسط عیار و میزان ذخیره توسط سه روش مورد استفاده، دلیلی بر صحت نتایج و عملکرد پژوهش است. بالاتر بودن متوسط عیار در روش کریجینگ شاخص چندگانه نسبت به روش‌های دیگر، به‌دلیل اختلاط کمتر کانسنگ و باطله و درنتیجه درجه خلوص بیشتر بلوک‌های ماده معدنی در این روش است. همچنین علت بیشتر بودن میزان ذخیره با روش کریجینگ معمولی بلوکی به کمک نرم‌افزار Datamine در حالت کاربر در تعیین منطقه تاثیر گمانه‌ها در فواصل عمقی کانی‌سازی شده در داخل گمانه‌هاست.

واژه‌های کلیدی: کانسار مس نارباغی شمالی ساوه، کریجینگ شاخص چندگانه، لگ کریجینگ، Datamine، SGeMS

مقدمه

تخمین ذخیره یکی از مهم‌ترین مراحل عملیات اکتشافی است و از آنجایی که اغلب براساس اطلاعات اکتشافی محدود انجام می‌شود، نیاز به دقیق‌تر بالایی دارد. تخمین ذخایر معدنی به روش‌های گوناگونی انجام‌پذیر است که تفاوت این روش‌ها در دقت و سرعت الگوریتم محاسبه و داده‌های مورد نیاز آن روشنها است. به همین دلیل انتخاب بهترین روش تخمین کانسار مورد تخمین می‌تواند در کیفیت تخمین‌ها موثر واقع

و باطله در معدن مس سرچشمه پرداختند. هدف از پژوهش آنها تعیین مرز بهینه کانسنگ و باطله در پله ۲۴۶۲/۵ معدن به کمک تخمین‌گر غیرخطی کریجینگ شاخص و ارزیابی اعتبار تخمین‌گر خطی کریجینگ معمولی است. بررسی آماری نتایج این دو تخمین‌گر نشان داد که از مجموع ۲۵۶۲۹ بلوک تخمینی در فضای مورد نظر، ۲۹۰۵ بلوک با استفاده از کریجینگ شاخص به طور صدرصد باطله اعلام شد در حالی که تخمین‌گر خطی کریجینگ معمولی، ۲۴۷۵ بلوک را به عنوان باطله معرفی کرد. کایدانی و دلبری (۱۳۸۹) با استفاده از روش‌های زمین‌آماری کریجینگ معمولی و کریجینگ شاخص، پهنگ‌بندی شوری خاک و رسک شوری در منطقه میانکنگی (سیستان) را مورد مطالعه قرار دادند. برای مقایسه روش‌ها از تکنیک اعتبارسنجی متقابل و معیارهای ارزیابی محدود میانگین مربعات خطأ (RMSE) و میانگین انحراف خطأ (MBE) استفاده شد. نتایج نشان داد که در تخمین شوری خاک هر دو روش زمین‌آماری از دقت مشابهی برخوردارند.

قاجار و سلطانی محمدی (۱۳۹۳) به مقایسه روش‌های کریجینگ شاخص و لاغ کریجینگ در تفکیک کانسنگ‌های هماتیتی و مگنتیتی در معدن آهن جلال آباد پرداختند. در این تحقیق از نتایج حاصل از آنالیز ۲۶۶۲ نمونه برداشت شده از ۸۶ گمانه (به طول ۶۱۶/۲۵ متر) در معدن سنگ آهن جلال آباد زرند برای مطالعه نسبت Fe/FeO به عنوان متغیر ناحیه‌ای استفاده شده و نتایج حاصل از دو تخمین‌گر در تعیین مرز مواد معدنی هماتیتی و مگنتیتی، مورد بررسی و مقایسه قرار گرفت. نتایج بیانگر آن است که روش کریجینگ شاخص ضمن آشکارسازی بهتر پیوستگی متغیر ناحیه‌ای نسبت Fe/FeO ، تعداد بیشتری از بلوک‌های با ترکیب هماتیتی قطعی (تعداد ۱۰۵ بلوک) را نسبت به روش لاغ کریجینگ (تعداد ۷۸ بلوک) معرفی می‌کند. Choudhury (2015) به مطالعه مقایسه‌ای بین تخمین‌گرهای خطی و غیرخطی برای ارزیابی منابع یک ذخیره آهن پرداخته است. روش کریجینگ معمولی در رویکرد زمین‌آمار خطی و روش کریجینگ شاخص به عنوان زمین‌آمار

شود (مدنی، ۱۳۷۴؛ احمدی، ۱۳۸۸).

به طور کلی روش‌های تخمین ذخایر معدنی را می‌توان به دو دسته روش‌های کلاسیک (هندسی) و زمین‌آماری (وزن‌دهی آماری) تقسیم‌بندی کرد (مدنی، ۱۳۷۶؛ احمدی، ۱۳۹۸). در روش‌های سنتی تخمین ذخیره که مبتنی بر آمار کلاسیک هستند، به ساختار داده‌ها و تغییرپذیری عیار و یا ضخامت آنها توجه نمی‌شود، به همین دلیل تخمین‌های حاصل، اغلب دارای خطای نظامدار هستند (مدنی، ۱۳۷۴). به دلیل اثرات نامطلوب خطای تخمین در افزایش رسیک سرمایه‌گذاری، لازم است دقیق‌ترین روش تخمین ذخیره که بتواند کمترین خطای تخمین را تضمین نماید، به کار گرفته شود. روش‌های تخمین زمین‌آماری به خاطر ویژگی‌های خاص خود قادرند بهترین برآورد را از متغیرهای مورد بررسی در زمینه‌های مختلف از جمله معدنکاری ارائه کنند (حسنی پاک، ۱۳۷۷). به طور کلی در روش‌های زمین‌آماری به بررسی آن دسته از متغیرها پرداخته می‌شود که ساختار فضایی از خود بروز می‌دهند و تخمین براساس ساختار فضایی موجود در محیط انجام می‌شود. بدین صورت که ابتدا به بررسی وجود یا نبود ساختار فضایی بین داده‌ها پرداخته می‌شود، سپس در صورت وجود ساختار فضایی، تحلیل داده‌ها انجام می‌گیرد (حسنی پاک و شرف الدین، ۱۳۸۰).

هدف اصلی پژوهش حاضر تعیین متوسط عیار و تخمین دقیق ذخیره کانسار مس نارباغی شمالی ساوه براساس اطلاعات اکتشافی موجود با استفاده از روش‌های زمین‌آماری کریجینگ خطی و غیرخطی و مقایسه نتایج آنها با یکدیگر است. زیرا طراحی درست و برنامه‌ریزی برای عملیات بهره‌برداری بهینه از کانسار، مستلزم آگاهی از میزان نزدیک به واقعیت عیار و تخمین تا حد ممکن دقیق ذخیره کانسار است. روش‌های زمین‌آماری از جمله روش‌های نوین تخمین می‌باشند که همواره محل چالش بوده و تحقیقات زیادی در این زمینه در حال انجام است. در ارتباط با موضوع پژوهش، بهتاگری پژوهش‌هایی انجام شده که در ادامه به چند مورد از مهم‌ترین آنها اشاره می‌شود.

جلالی و همکاران (۱۳۸۸) به بررسی اعتبار تخمین‌گرهای کریجینگ خطی و غیرخطی در پهنگ‌بندی بلوک‌های کانسنگ

1. . Root Mean Square Error

2. . Mean Bias Error

مهمترین و بزرگ‌ترین توده نفوذی در منطقه اکتشافی نارباغی شمالی دارای ترکیبی در حد گرانیت-گرانوپورت پورفیری است که با رنگ خاکستری خود به خوبی از واحدهای دربرگیرنده بهویژه آندزیت متمایز است. این توده به صورت تپه‌های فرسایش‌یافته بروند دارد و بلندترین ارتفاعات منطقه اکتشافی را تشکیل می‌دهد. توده مذکور، بافت دانه‌ای تا پورفیری دارد و رگه‌هایی از آندزیت در داخل این سنگ‌ها دیده می‌شود (پیچاب کانسار، ۱۳۹۴). در بخش شمالی و مرکزی گستره، توده‌های نفوذی میکروگرانیتی زرد تا قهوه‌ای روشن و صورتی رنگ دیده می‌شود. این توده‌های نفوذی در بخش‌هایی حاوی رگچه‌های سیلیسی، کالکوپیریت، پیریت، کالکوسیت، مالاکیت و تنانیت می‌باشد و بیشتر کارهای اکتشافی از جمله حفاری‌ها در این توده‌های نفوذی انجام شده است.

تجزیه و تحلیل اکتشافی کانسار

در منطقه مورد مطالعه فعالیت‌های اکتشافی به‌نسبت گستره‌های انجام شده که شامل تهیه نقشه توپوگرافی-زمین‌شناسی با مقیاس ۱:۱۰۰۰، برداشت‌های ژئوفیزیکی، برداشت نمونه‌های سطحی، انجام حفاری‌های سطحی (ترانشه) و عمیق (گمانه) است. در این گستره تعداد ۱۱ عدد ترانشه اکتشافی به طول ۲۳۴ متر نیز حفر شده است. پس از انجام عملیات مرحله بی‌جوبی و مطالعات زمین‌شناسی و ژئوفیزیکی در منطقه، دو گستره امیدبخش کانی‌سازی مس پورفیری به صورت دو استوک کوارتز مونزونیتی با دگرسانی فیلیک و پتاسیک، شناسایی شده و تعداد ۲۳ حلقه گمانه اکتشافی قائم به نام‌های NNB1 تا NNB23 در گستره دو استوک، شامل ۱۸ گمانه در استوک غربی و پنج گمانه در استوک شرقی حفر شده است. شکل ۱ نقشه توپوگرافی-زمین‌شناسی منطقه کانسار نارباغی شمالی را همراه با موقعیت پراکندگی گمانه‌ها و ترانشه‌های اکتشافی حفر شده، نشان می‌دهد. در مجموع حدود ۲۴۲۵ متر گمانه حفاری شده که عمق حفاری‌ها از ۵۲ متر (گمانه ۹ NNB) تا ۲۲۴ متر (گمانه ۱ NNB) متغیر است. از تمامی گمانه‌ها برای مطالعات پتروگرافی، کانه‌نگاری و تجزیه شیمیایی، مغزه‌گیری و برداشت زمین‌شناسی انجام شد. از این گمانه‌ها

غیرخطی انتخاب شده است. پس از برآورد پارامترهای آماری، هر دو نتیجه نسبت به داده‌های خام مقایسه شده و مشخص شد که پیش‌بینی روش کریجینگ شاخص نسبت به روش کریجینگ معمولی بهتر است.

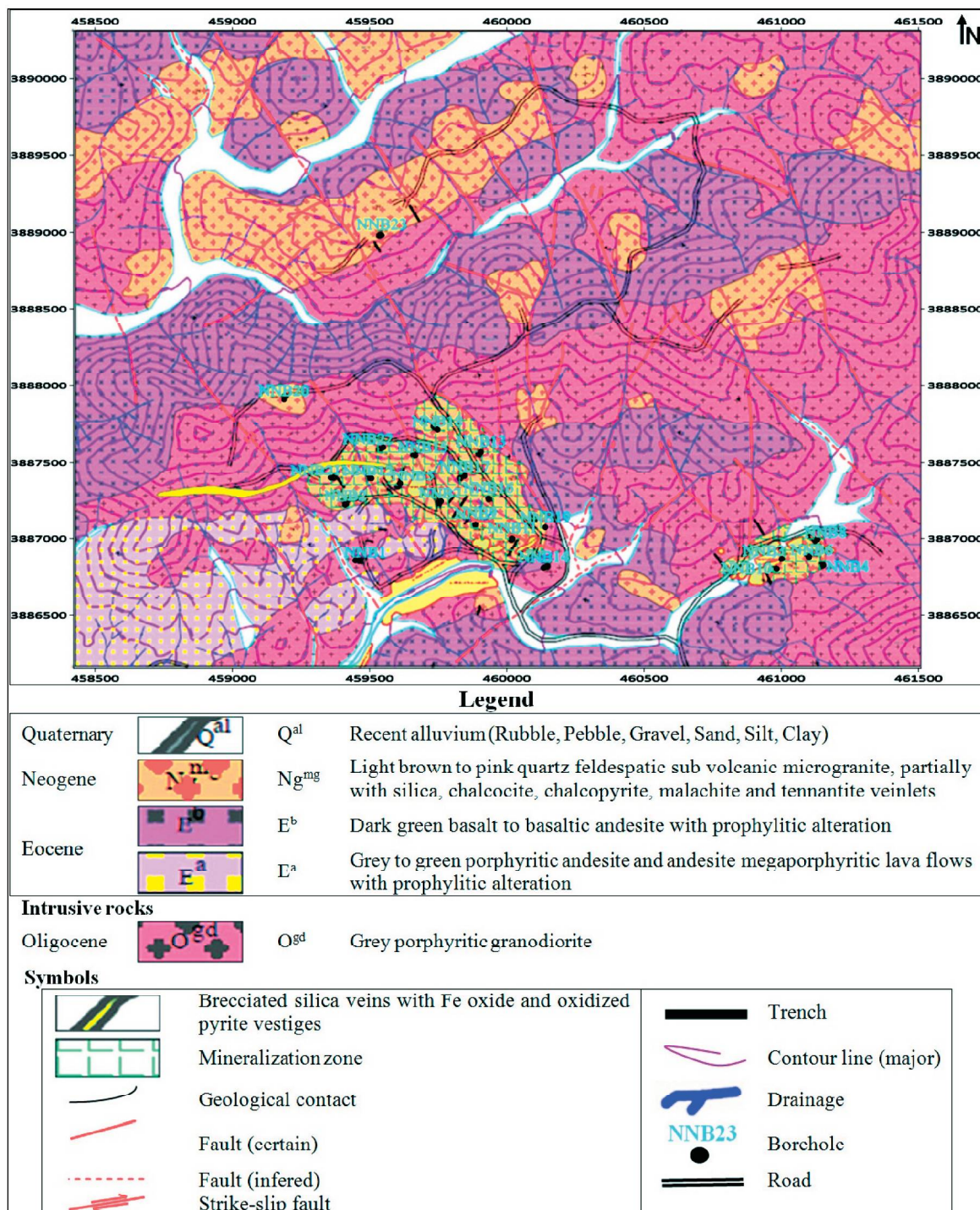
منطقه مورد مطالعه

منطقه اکتشافی نارباغی شمالی در شمال شرق استان مرکزی، ۲۶ کیلومتری شمال شرق شهرستان ساوه و در برگه ۱:۱۰۰۰۰۰ زاویه واقع شده است. راه ارتباطی منطقه از طریق آزادراه تهران-ساوه میسر است که پس از گذر از عوارضی ساوه (۱۰ کیلومتری شهرستان ساوه) و عبور از زیرگذر شهرک صنعتی، از طریق یک راه خاکی به طول ۱۵ کیلومتر به سمت روستای عباس‌آباد نارباغی، دسترسی به بخش‌های مختلف منطقه، امکان‌پذیر است (پیچاب کانسار، ۱۳۹۴).

براساس تقسیم‌بندی ساختاری ایران توسط Alavi (1991) و Stoecklin (1968) گستره اکتشافی مس نارباغی شمالی در زون آتش‌نشانی تیپ آندی ارومیه-دختر واقع است. رخنمون‌های سنگی منطقه شامل توالی‌های آتش‌نشانی-رسوبی ائوسن با ترکیب آندزیت و توف بلورین-خرده‌سنگی است که توسط توده‌های نفوذی نیمه‌عمیق با ترکیب دیوریت و مونزوندیوریت الیگوسن قطع شده‌اند. این کانسار دارای جهت‌یافتگی تقریبی شمال غربی-جنوب شرقی است. کانی‌زایی بیشتر به صورت مالاکیت و کمتر کالکوسیت به دو صورت افشار و پرکننده شکستگی‌ها (رگه و رگچه) مشاهده می‌شود و تا حدودی تحت دگرسانی آرشبلیک و سریسیتیک (فیلیک) قرار گرفته است. دگرسانی فیلیک به وسیله جایگزینی سریسیت و کوارتز به جای بیشتر کانی‌های سیلیکاتی سنگ‌ساز (همانند فلدسپات‌ها) مشخص می‌شود. دگرسانی سوپرزن باعث تبدیل بخشی از کانی‌های سولفیدی به کانی‌های کربناتی و نیز اکسیدها و هیدروکسیدهای آهن به همراه جارووسیت شده است. دگرسانی پروپیلیتیک آخرين فاز دگرسانی و گستردگی‌ترین دگرسانی موجود در منطقه اکتشافی است که به صورت جانبی دگرسانی‌های دیگر را دربر می‌گیرد و به وسیله کانی‌های کلریت و اپیدوت مشخص می‌شود (پیچاب کانسار، ۱۳۹۴).

منطقه بیشتر به صورت مالاکیت، آزوریت، پیریت و کمتر کالکوپیریت و کالکوسیت است که به صورت پراکنده، رگه و رگچه‌ای در سنگ میزان دیده می‌شود.

تعداد ۵۵۸ نمونه برای عنصر مس مورد تجزیه شیمیایی قرار گرفت که نتایج تجزیه شیمیایی نمونه‌ها عیار مس را متغیر بین (۲/۲ ppm) تا (۱۲/۲ ppm) درصد نشان می‌دهد (پیچاب کانسار، کانی‌سازی در مغزه‌های حاصل از حفاری‌های این (۱۳۹۴).



شکل ۱. نقشه توپوگرافی-زمین‌شناسی کانسار ناریاغی شمالی ساوه با مقیاس ۱:۱۰۰۰ همراه با نمایش موقعیت پراکندگی گمانه‌های اکتشافی (ویرایش شده از پیچاب کانسار، ۱۳۹۴)

کریجینگ شاخص از مقادیر تغییرنامای شاخص به جای تغییرنامای معمولی استفاده می‌شود. برای محاسبه تغییرنامای شاخص، ابتدا باید داده‌های خام را به متغیرهای شاخص تبدیل کرد. از این روش می‌توان برای تعیین ذخیره کانسار با عیار بالاتراز حد مورد نظر همراه با احتمال رخداد آن استفاده کرد. همچنین می‌توان نقشه توزیع فضایی احتمال پیدایش بلوک‌هایی از کانسار با عیار بالاتر یا مساوی یک حد آستانه را به راحتیرسم کرد (حسنی پاک و خالصی، ۱۳۸۲). در تخمین به روش کریجینگ شاخص چندگانه آنچه که سنجیله می‌شود، احتمال گذر عیار یک بلوک از یک یا چند عیار حد متوالی است (فاجار و سلطانی محمدی، ۱۳۹۳). یکی از کاربردهای اصلی کریجینگ شاخص، تعیین مرز ماده معدنی و باطله در کانسار است (Gossage, 1998). در واقع کریجینگ شاخص در جدا کردن باطله از کانسنگ کارایی بالاتری دارد. برای انجام کریجینگ شاخص چندگانه ابتدا لازم است داده‌های اولیه به مقادیر شاخص تبدیل شوند. برای این منظور لازم است عیار حدی در نظر گرفته شود و متغیرهای شاخص از طریق تابع شاخص بدست آیند که مطابق رابطه (۱) تعریف می‌شود (حسنی پاک و شرف‌الدین، ۱۳۸۰):

$$I(x; Z_k) = \begin{cases} 1 & \text{if } Z(x) \leq Z_k \\ 0 & \text{Otherwise} \end{cases} \quad k = 1, \dots, K \quad (1)$$

که در آن $I(x, Z_k)$ مقدار شاخص نمونه ام، Z_k حد آستانه و k تعداد کل آستانه‌ها می‌باشد. بدین صورت که به مقادیر اصلی کوچکتر یا مساوی حد آستانه منتخب، کد یک و به مقادیر بزرگ‌تر، کد صفر تعلق می‌گیرد. بدین ترتیب کلیه داده‌های موجود به صفر (بزرگ‌تر از عیار حد) و یک (کوچک‌تر یا مساوی عیار حد) تبدیل شده و سپس براساس داده‌های تبدیل شده، کلیه مراحل کریجینگ انجام می‌شود. مزیت تخمین گر کریجینگ شاخص آن است که با تقسیم تابع توزیع تجمعی به بخش‌های کوچک‌تر، در آن بخش‌ها تابع توزیع حالت نرمال به خود گرفته و نیازی به نرمال کردن نیست.

1. Log-kriging

2. Indicator kriging

3. Disjunctive kriging

4. Sequential gaussian simulation

5. Cumulative distribution function

روش مطالعه

برای محاسبه ذخیره منطقه مورد مطالعه از روش‌های تخمین دقیق زمین‌آماری مبتنی بر کریجینگ به کمک نرم‌افزارهای SGeMS2 (Remy et al., 2009; Datamine (Bohling, 2007; Remy et al., 2006 استفاده شد. کریجینگ یک تخمین گر خطی نااریب با کمترین واریانس تخمین است (Annels, 1989; Journel, 1981). بنابراین در پژوهش حاضر این روش تخمین بهدلیل دقت بالا برای محاسبه ذخیره، انتخاب شده است. روش‌های تخمین زمین‌آماری خود به دو دسته روش‌های خطی و غیرخطی تقسیم می‌شوند. روش کریجینگ معمولی از جمله روش‌های خطی و روش‌های لاغ کریجینگ، کریجینگ شاخص (IK)، کریجینگ گستته^۳ و شبیه‌سازی متوالی گوسی^۴ از مهم‌ترین روش‌های غیرخطی زمین‌آماری می‌باشند. هر یک از این روش‌ها دارای پیچیدگی‌های خاص خود بوده و با توجه به شرایط داده‌ها، یک یا چند مورد از این روش‌ها به طور متناسب، قابل استفاده خواهد بود. آنچه مهم است در تمامی این روش‌ها انتخاب بهینه پارامترهای تخمین، نقش مهمی در دقت محاسبه‌ها دارد. علاوه بر روش لاغ کریجینگ برای محاسبه ذخیره، براساس نحوه توزیع داده‌های عیارسنجی در منطقه، از روش کریجینگ شاخص چندگانه به کمک نرم‌افزار SGeMS استفاده شد. همچنین برای تهیه مدل سه‌بعدی (مدل جامد) و محاسبه ذخیره کانسار از روش کریجینگ معمولی بلوکی به کمک نرم‌افزار Datamine نیز استفاده شد. کریجینگ شاخص یک تکنیک تخمین زمین‌آماری غیرخطی است که توسط Journel (1983) معرفی شده است. هدف اصلی جورنل براساس کار (Switzer, 1977) و دیگران، تخمین محلی توسط فرایند تابع توزیع تجمعی^۵ (cdf) محلی بود. ویژگی اصلی کریجینگ شاخص، غیرپارامتری بودن آن است و برفرض مدل توزیع خاصی برای نتایج، استوار نیست. در واقع روش کریجینگ شاخص مستقل از توزیع فراوانی داده‌ها می‌باشد.

دستگاه معادلات کریجینگ شاخص همانند دستگاه معادلات کریجینگ معمولی است با این تفاوت که در

بحث

پردازش آماری اولیه داده‌ها

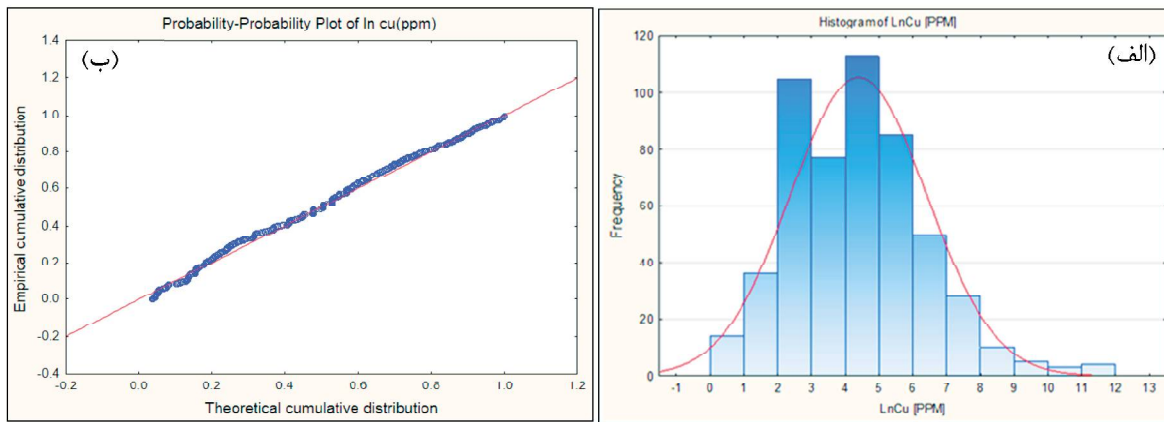
مختصر تعیین شده و فراوانی‌نما و نمودار احتمال-احتمال (توزیع احتمال تجمعی) نیز رسم شده است.

نتایج آماره‌های توصیفی مختصر داده‌های عیارستنجی مس گمانه‌های اکتشافی در جدول ۱ خلاصه شده است. شکل ۲ نیز فراوانی‌نما و نمودار احتمال-احتمال لگاریتم داده‌های عیارستنجی مس گمانه‌ها را نشان می‌دهد. داده‌های جدول ۱ و شکل ۲ نشان می‌دهند که توزیع داده‌های عیارستنجی گمانه‌ها از نوع لاغ نرمال بوده که با یک تبدیل لگاریتمی دو پارامتری به حالت نرمال تبدیل شدن.

تجزیه و تحلیل و پردازش آماری داده‌ها یکی از مهم‌ترین مراحل تخمین ذخیره است. در تمام روش‌های محاسبه ذخیره اعم از روش‌های هندسی (کلاسیک) و زمین‌آماری، اطلاع از نحوه توزیع آماری داده‌ها ضروری است. به‌منظور تعیین نحوه توزیع داده‌های عیارستنجی مس، مطالعات آماری با استفاده از نرم‌افزارهای GS+ Statistica و بر روی داده‌های عمقی صورت گرفته است. در این راستا آماره‌های توصیفی

جدول ۱. آماره‌های توصیفی مختصر داده‌های اکتشافی کانسار مس ناریابی شمالی

آماره متغیر	کمینه (ppm)	میانگین (ppm)	بیشینه (ppm)	میانه (ppm)	دامنه تغییرات (ppm)	واریانس (ppm) ²	انحراف معیار (ppm)	ضریب تغییرات (%)	چولگی کشیدگی
عيار مس	۲	۸۰	۸۸/۱۳۸۶	۷۸/۰۶	۹۰/۹۲۳۳۶۴	۹۵۳۵/۳۷۴	۶۸۷/۵۴	۱۰/۵۶	۱۱۷/۲۰
لگاریتم عیار مس	۰/۶۹	۴/۳۸	۴/۳۵	۴/۰۱۷	۲/۰۰۴	۴۵/۹۹	۰/۶۰	۱/۰۵۶	۰/۶۲



شکل ۲. (الف) فراوانی‌نما و (ب) نمودار احتمال-احتمال (توزیع تجمعی تجربی-تئوری) لگاریتم داده‌های عیارستنجی مس گمانه‌های اکتشافی منطقه ناریابی شمالی

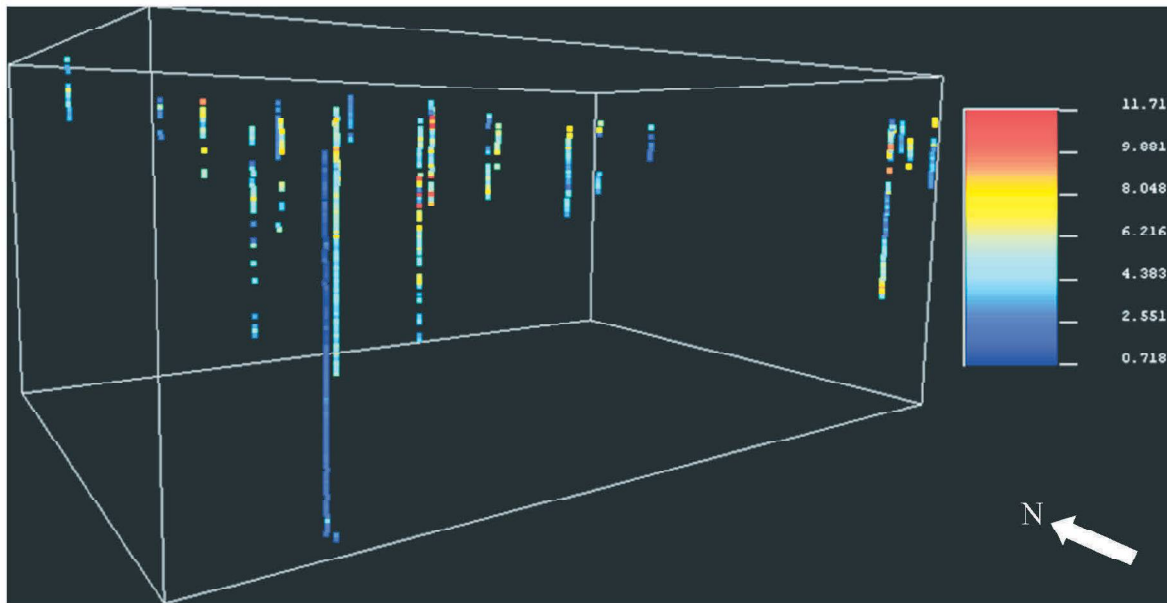
ارزیابی کانسار با استفاده از روش‌های زمین‌آماری

شود، تاثیرگذار است. در صورت وجود روند در داده‌ها می‌بایست از روش کریجینگ عام استفاده کرد. به‌منظور بررسی وجود یا نبود روند در داده‌های کانسار مس ناریابی شمالی، نمودار پراکنده‌گی مقادیر عیارستنجی مس گمانه‌های اکتشافی در راستاهای افقی شرقی-غربی و شمالی-جنوبی و نیز در راستای قائم (عمقی) رسم شد. نمودارهای مذکور روند خاصی را در داده‌های منطقه نشان نداد. براساس مطالعات آماری، بیشترین فراوانی طول مغزه‌های گمانه‌های اکتشافی مربوط به انواع دو متری بوده، میانه داده‌ها

برای تخمین ذخیره کانسار مس ناریابی شمالی اطلاعات ترانشه‌ها کارآبی چندانی نداشته و فقط از اطلاعات ۲۳ حلقه گمانه اکتشافی استفاده شده است زیرا نمی‌توان ارتباط منطقی و معنی‌داری بین داده‌های سطحی (ترانشه‌های اکتشافی) و عمقی (گمانه‌های اکتشافی) در کانسار برقرار کرد. یکی از مهم‌ترین مسائل زمین‌آماری مطالعه روند در منطقه مطالعاتی است که در نوع کریجینگی که باید به کاربرده

قطعه‌ای افزایش می‌یابد. موقعیت پراکندگی سه بعدی ۲۳ حلقه گمانه‌اکتشافی به همراه تغییرات عیار مس در طول گمانه‌ها و مرز گستره، در شکل ۳ نشان داده شده است.

برابر با دو متر و ۸۴ درصد موزه‌ها دارای طولی کمتر از ۱۲۸/۳ متر هستند. بنابراین ترکیب کردن (کامپوزیت‌سازی) برای طول دو متر انجام شد زیرا برای طول‌های کمتر از این مقدار، اثر



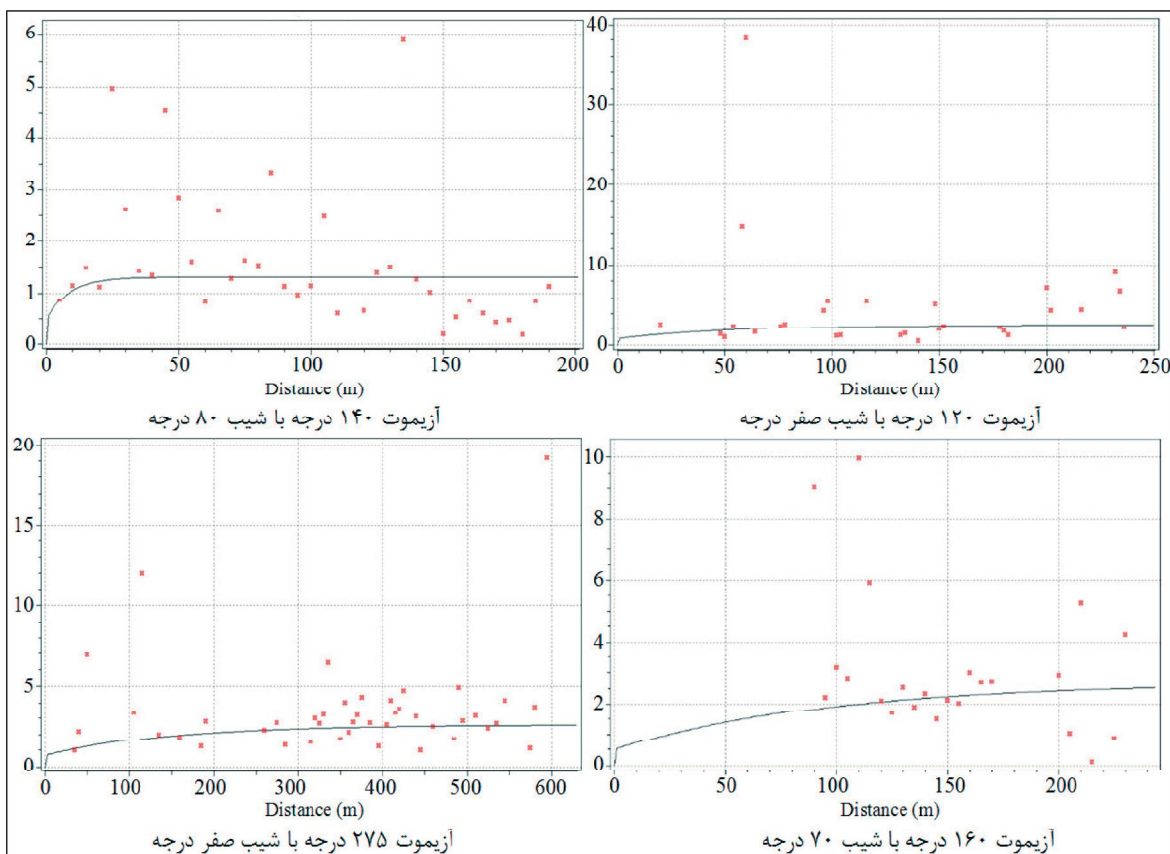
شکل ۳. نمایش موقعیت فضایی و تغییرات عیاری گمانه‌های کانسار مس ناریاغی شمالی در نرم‌افزار SGeMS

محاسبه ذخیره کانسار به روش لگ کریجینگ

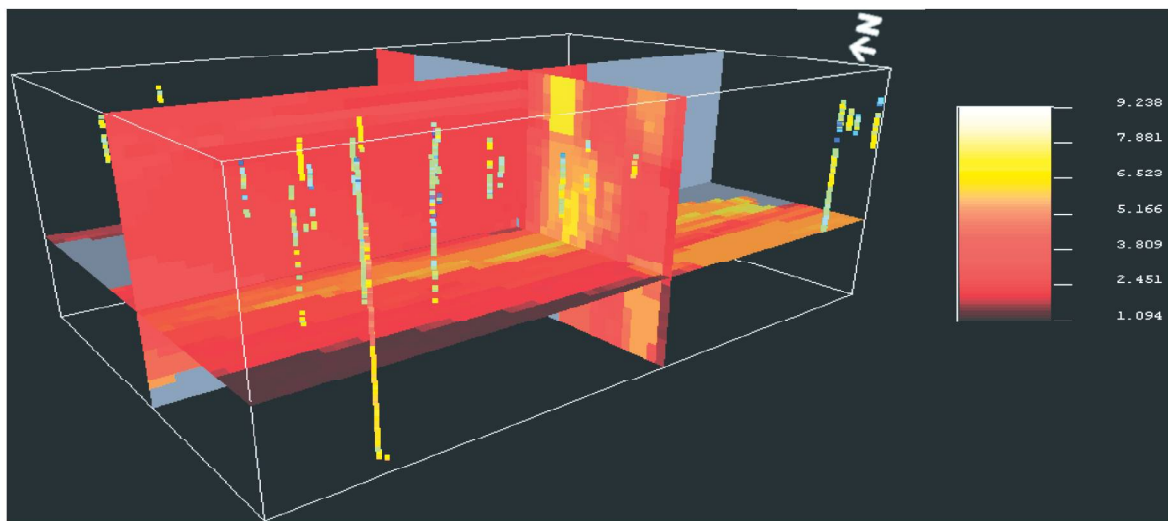
از آنجایی که توزیع داده‌های عیار سنجی مس در منطقه مورد مطالعه، از نوع لگ‌نرمال است، برای تخمین ذخیره کانسار، روش تخمین لگ کریجینگ معمولی بلوکی با اندازه بلوک‌های $10 \times 10 \times 10$ متر و تعداد ۱۳۲۵ بلوک (تعداد ۴۲۴ بلوک در راستای شمالی-جنوبی، ۶۳۶ عدد در راستای شرقی-غربی و ۲۶۵ بلوک در راستای قائم) بکار برده شد. براساس واریوگرافی صورت گرفته در منطقه ناریاغی، بیضوی جستجو در راستای آزیموت ۲۷۵ درجه دارای شعاع ۴۳۳ متر با زاویه شیب پنج درجه نسبت به افق، در راستای آزیموت پنج درجه دارای شعاع ۱۸۳ متر و در راستای عمق دارای شعاع ۵۰ متر است. بنابراین عملیات تخمین لگ کریجینگ معمولی با بیضوی تجسس با این مشخصات، با استفاده از نرم‌افزار SGeMS صورت گرفت. سه نیم خ عمود برهم از تخمین لگ کریجینگ در منطقه مورد مطالعه، در محل سلول شماره ۳۶ محور شرقی، ۱۹ محور شمالی و ۱۰ محور قائم همراه با موقعیت گمانه‌های منطقه، در شکل ۵ نمایش داده شده است.

تجزیه و تحلیل ساختار فضایی کانسار

به منظور شناسایی ساختار فضایی کانسار، تعیین وضعیت همسانگردی یا ناهمسانگردی کانسار و انجام تخمین‌های کریجینگ، واریوگرافی (در فضای سه بعدی) در منطقه مورد مطالعه با استفاده از نرم‌افزار SGeMS به این شکل انجام گرفت که از آزیموت صفر، ۱۲۰، ۱۶۰ و ۲۰۰ تا ۲۸۵ درجه، هر پنج درجه یک تغییرنما و از شیب صفر و ۵۰ تا ۹۰ درجه، از هر پنج درجه با گام‌های مختلف یک تغییرنما رسم شد و در نهایت تعداد ۳۰۰ تغییرنما به دست آمد. در شکل ۴ تعدادی از تغییرنماهای امتدادی رسم شده در منطقه مورد مطالعه نشان داده شده است. نمودارهای شکل ۴ نشان می‌دهند که مقادیر تغییرنماهای تجربی محاسبه شده برای منطقه مورد مطالعه بسیار پراکنده است و این موضوع در ارتباط با ماهیت ذاتی کانسار و پیچیدگی‌های زمین‌شناسی آن می‌باشد. اغلب تغییرنماهای تجربی منطقه مورد مطالعه با تغییرنماهای تئوری از نوع کروی-انطباق یافته‌اند. با توجه به این که شعاع تاثیر تغییرنماها در جهات مختلف، متفاوت است، بنابراین کانسار ناهمسانگرد می‌باشد.



شکل ۴. تغییرنماهای امتدادی رسم شده در راستاهای مختلف در منطقه ناریابی شمالی



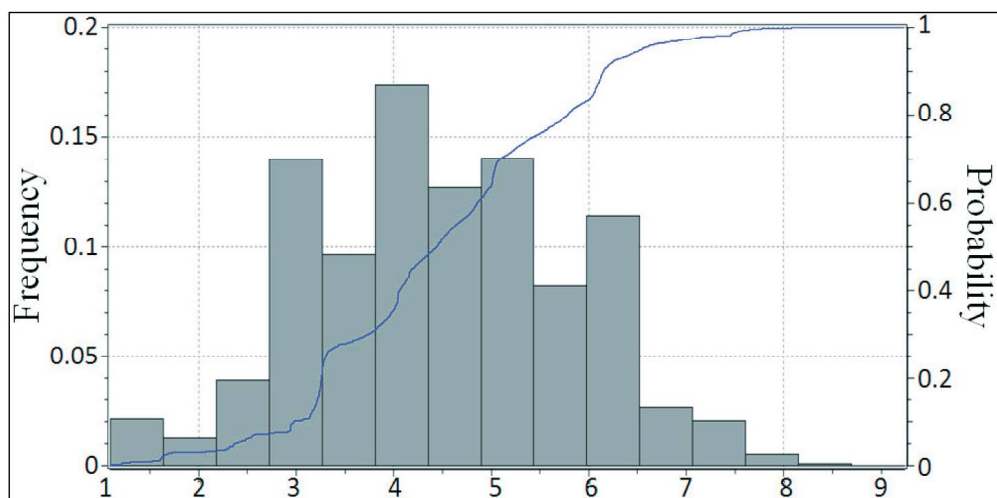
شکل ۵. نمایش سه‌بعدی عیارستنجی تخمین لاغ کریجینگ معمولی در منطقه مورد مطالعه از طریق سه نیمرخ عمود بر هم

انجام تخمین لاغ کریجینگ، مقادیر تخمین زده شده با یک تبدیل معکوس (آنتی لگاریتم) به مقادیر واقعی تبدیل شده و با در نظر گرفتن عیار حددهای ۱۰۰۰، ۱۵۰۰، ۲۰۰۰ و ۲۵۰۰ (ppm) حجم ۱۰۰۰ متر مکعبی هر بلوک و جرم مخصوص متوسط ماده‌های معنده برابر با 2.65 gr/cm^3 ، ذخیره منطقه به از

در شکل ۶ فراوانی نما و نمودار فراوانی تجمعی داده‌های لگاریتمی بعد از تخمین لاغ کریجینگ نشان داده شده است که کم و بیش متقاض و در نتیجه از نوع نرمال می‌باشد. واریانس لگاریتم داده‌های اولیه $(\sigma^2 / 98) = 3/98$ و واریانس داده‌های تخمینی $(\sigma^2 / 73) = 1/73$ به دست آمده است. پس از

عيار حد بحسب گرم بر تن، محور قائم سمت چپ معرف میزان ذخیره بحسب تن و محور قائم سمت راست میان متوسط عیار بحسب گرم بر تن می‌باشد.

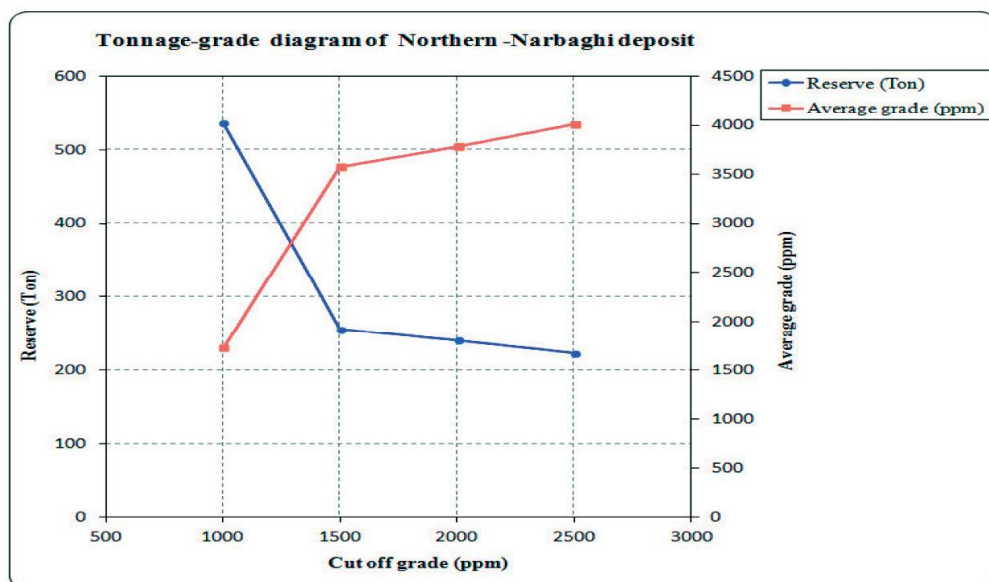
عيارحدهای مختلف مطابق جدول ۲ به دست آمد. شکل ۷ نمودار عیار-تناز حاصل از تخمین ذخیره را با استفاده از روش کریجینگ نمایش می‌دهد. در این نمودار محور افقی، میزان



شکل ۶. فراوانی نما و نمودار فراوانی تجمعی داده‌های لگاریتمی حاصل از تخمین لاغ کریجینگ

جدول ۲. نتایج محاسبه متوسط عیار و ذخیره کانسار مس نارباغی شمالی با روش لاغ کریجینگ معمولی بلوکی

ذخیره خالص ماده معدنی (تن)	وزن کل کانسنسنگ (تن)	عيار متوسط (ppm)	عيار حد (ppm)
۵۳۵/۷۹	۳۱۰۰۵	۱۷۲۸/۰۷۰۰	۱۰۰
۲۵۵/۷۹	۷۱۵۵۰	۳۵۷۴/۹۵۶۱	۱۵۰
۲۴۰/۸۳	۶۳۶۰۰	۳۷۸۶/۵۷۴۰	۲۰۰
۲۲۲/۹۹	۵۵۶۵۰	۴۰۰۷/۰۵۹۵	۲۵۰



شکل ۷. نمودار عیار-تناز کانسار مس نارباغی شمالی با روش لاغ کریجینگ معمولی با استفاده از SGeMS

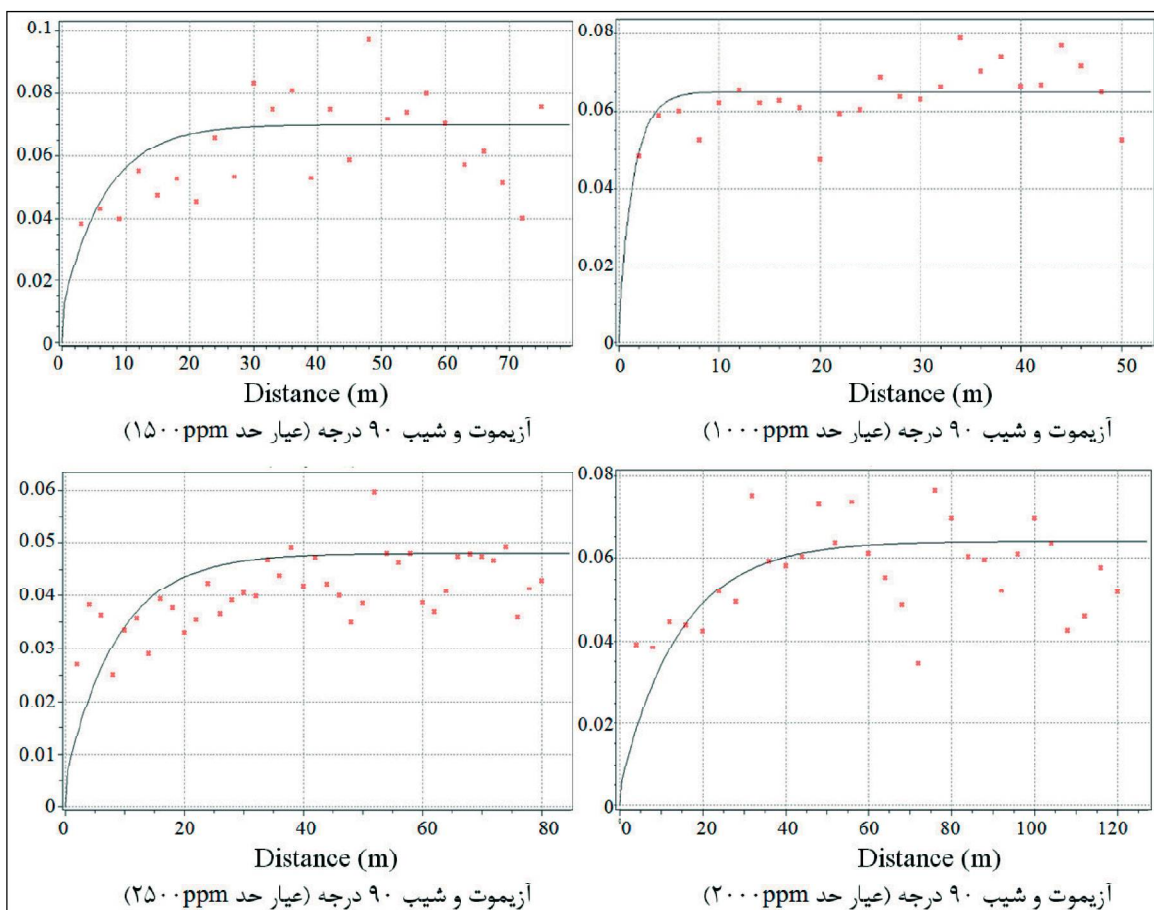
محاسبه ذخیره کانسار به روش کریجینگ شاخص چندگانه

نایپوسسته با یکدیگر تلفیق شدند و با اعمال عیار حدهای ۱۰۰۰، ۱۵۰۰، ۲۰۰۰، (ppm) ۲۵۰۰ و حجم ۱۰۰۰ متر مکعبی هر بلوک، ذخیره منطقه به ازای عیار حدهای مختلف به دست آمد. شکل ۸ تعدادی از تغییرنماهای شاخص امتدادی به‌ازای عیار حدهای مختلف را نشان می‌دهد. همچنین مشخصات تعدادی از تغییرنماهای شاخص امتدادی رسم شده در راستای آزمیوت‌های مختلف، در جدول ۳ آورده شده است.

تغییرنماهای شکل ۸ و داده‌های جدول ۳ نشان می‌دهند که در منطقه مورد مطالعه، اغلب تغییرنماهای تجربی شاخص با مدل ثئوری از نوع کروی انطباق یافته و کانسار نیز ناهمسانگرد می‌باشد. در جدول ۴ عیار متوسط و میزان ذخیره منطقه به‌ازای عیار حدهای مختلف خلاصه شده است.

شکل ۹ نیز نمودار عیار-تناظر حاصل از تخمین ذخیره را با استفاده از روش کریجینگ شاخص چندگانه نمایش می‌دهد.

برای محاسبه ذخیره کانسار مس ناریاغی شمالی با استفاده از روش کریجینگ شاخص چندگانه، بر روی داده‌های خام عیار سنجی منطقه، عیار حدهای ۱۰۰۰، ۱۵۰۰، ۲۰۰۰ و (ppm) ۲۵۰۰ اعمال شد. با توجه به تابع شاخص، داده‌های کوچک‌تر یا مساوی با عیار حدها برابر با مقدار یک و داده‌های بیشتر از عیار حدها برابر با مقدار صفر منظور شد و ابتدا با استفاده از نرم‌افزار SGeMS واریوگرافی شاخص و سپس برای تخمین ذخیره، با روش تخمین کریجینگ شاخص با اندازه بلوک‌های $10 \times 10 \times 10$ مترو و تعداد ۱۳۲۵ داده بلوک (تعداد ۴۲۴ بلوک در راستای شمالی-جنوبی، ۶۳۶ عدد در راستای شرقی-غربی و ۲۶۵ بلوک در راستای قائم) بکار برده شد. بعد از انجام تخمین کریجینگ شاخص، مقادیر تخمین زده شده با رابطه مربوط به کریجینگ شاخص



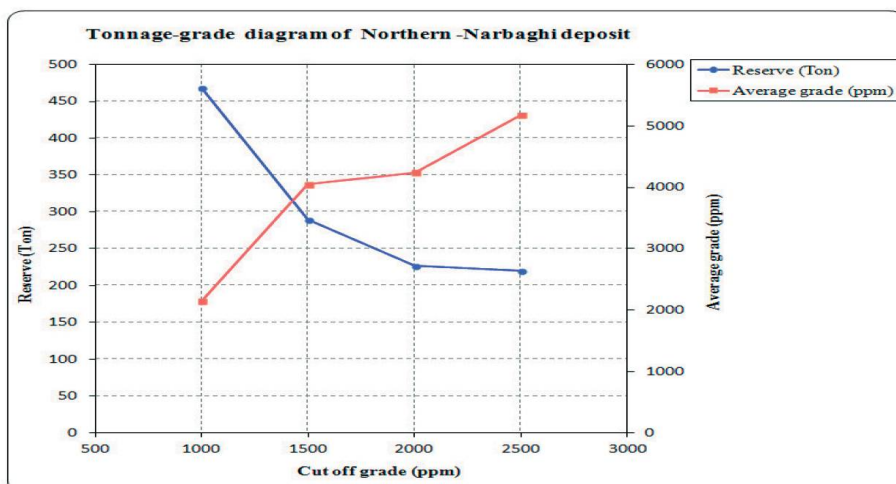
شکل ۸. تغییرنماهای شاخص امتدادی رسم شده در منطقه ناریاغی شمالی به‌ازای عیار حدهای مختلف

جدول ۳. مشخصات تغییر نمای شاخص امتدادی رسم شده در راستاهای مختلف در منطقه نارباغی شمالی

مدل تغییرنما	جهت یا آزیموت (درجه)	تلراس(درجه)	اثر قطعه‌ای (%)	سقف (%)	شعاع تأثیر(متر)
کروی	*	۲۵	۰/۰۱	۰/۰۶	۲۱
کروی	۱۲۰	۲۵	۰/۰۱	۰/۱۲	۱۵۰
کروی	۲۸۰	۲۵	۰/۰۴	۰/۰۶	۴۳
کروی	۲۸۵	۲۵	۰/۰۱	۰/۰۶۲	۱۰۸

جدول ۴. نتایج محاسبه متوسط عیار و ذخیره کانسار مس نارباغی شمالی با روش کریجینگ شاخص

میزان ذخیره(تن)	عیار متوسط (ppm)	عیار حد (ppm)
۴۶۸/۲۱	۲۱۴۸/۲۷۶	۱۰۰
۲۸۹/۶۳	۴۰۵۱/۹۰۱	۱۵۰
۲۲۷/۶۷	۴۲۴۴/۷۴۸	۲۰۰
۲۲۰/۰۴	۵۱۷۸/۲۴۹	۲۵۰



شکل ۹. نمودار عیار-تناز کانسار مس نارباغی شمالی با روش کریجینگ شاخص با استفاده از SGeMS

۱۰۰، ۱۵۰۰-۲۰۰۰، ۲۵۰۰-۲۰۰۰ و ۱۵۰۰-۱۵۰۰۰ (ppm) با رنگ‌های مختلف تقسیم شده است. انتخاب این گستره‌ها براساس مقادیر عیار حد مناسب انتخاب شده بهمنظور تخمین ذخیره منطقه، صورت گرفته است. رنگ خاکستری هم مربوط به فواصل عمقی است که به هر دلیل فاقد داده عیارستنجی می‌باشدند.

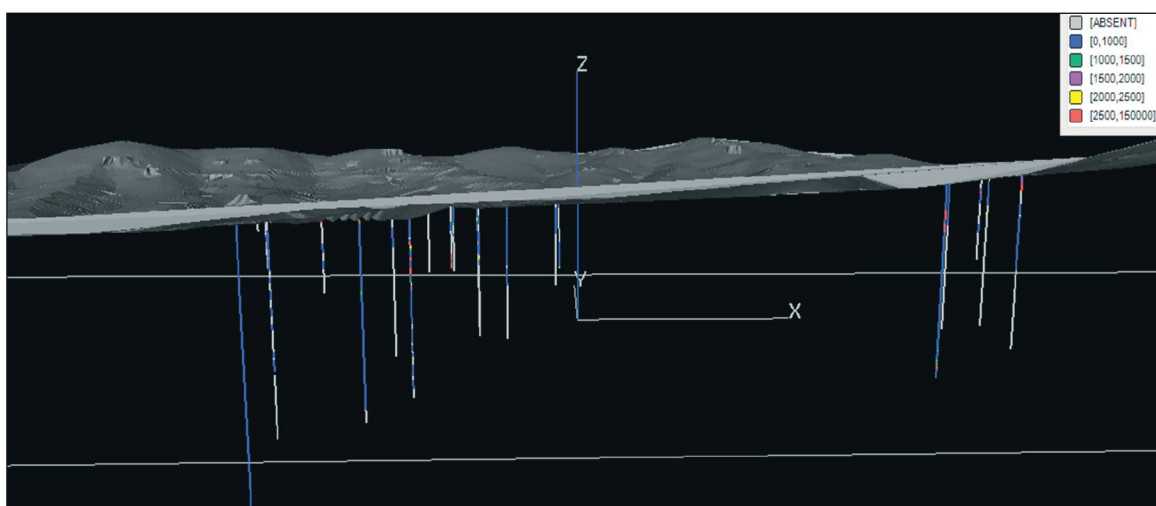
ساخت مدل بلوکی کانسار

همواره توده‌های کانسار دارای شکلهای هندسی نامنظمی هستند. بهمنظور تخمین ذخیره درست توده‌های کانساری بهویشه با اشکال هندسی نامنظم، در بسیاری از موارد لازم است که ابتدا مدل جامد کانسار ایجاد شود و

تخمین ذخیره کانسار با نرمافزار Datamine

برای ارزیابی عیار و تناز کانسار به روش کریجینگ معمولی با استفاده از نرمافزار Datamine، تمامی نتایج عملیات واریوگرافی کانسار انجام شده توسط نرمافزار SGeMS مورد استفاده قرار گرفت و انتخاب تمامی پارامترهای زمین‌آماری، براساس همین نتایج انجام شد.

شکل ۱۰ نمایی سه‌بعدی از وضعیت پراکندگی گمانه‌های اکتشافی و توپوگرافی منطقه نارباغی شمالی ساوه را نشان می‌دهد. راهنمای رنگی عیاری، تغییرات میزان عیار ماده معدنی در گمانه‌های اکتشافی منطقه است. مطابق این شکل تغییرات عیار منطقه مورد مطالعه با مقدار کمینه صفر و مقدار بیشینه (ppm) ۱۵۰۰۰-۰-۱۰۰۰ به پنج گستره ۱۵۰۰۰-۰-۱۰۰۰، ۱۰۰۰-۰-۱۵۰۰-



شکل ۱۰. نمای سه‌بعدی تغییرات عیارستنجه مس گمانه‌های اکتشافی در منطقه ناریاغی شمالی ساوه به همراه توپوگرافی منطقه (جهت شمال در راستای محور ۷ می‌باشد)

می‌شود که با توجه به مدل عیاری سازنده فضای تخمین، کانی‌سازی مس در این کانسار دارای پیوستگی نبوده بلکه به صورت قطعه قطعه یا تکه تکه می‌باشد. همچنین کانی‌سازی در افق‌های مختلف با ضخامت‌های متغیر صورت گرفته است. میزان گسترش فضایی ماده معنی در بخش‌های کانی‌سازی شده در گمانه‌ها، براساس اصول متداول نحوه تعیین منطقه (شعاع) تاثیر در ارزیابی ذخایر معدنی، صورت گرفته است. شکل ۱۱-ب نیز قطعه قطعه بودن ماده معنی در کانسار را به‌وضوح نشان می‌دهد. با توجه به این شکل مشاهده می‌شود که تمرکز ماده معنی با عیار حد (ppm) ۱۰۰۰ در بخش غربی کانسار بیشتر است. برای ساخت مدل بلوكی ابتدا براساس مقادیر حداقل و حداقل آمارهای طول و عرض جغرافیایی و ارتفاع مدل عیاری رشته‌بندی شده، مدل اولیه^۳ ساخته می‌شود. این مدل خالی است که سپس توسط بلوك‌های تخمین عیار، پر می‌شوند.

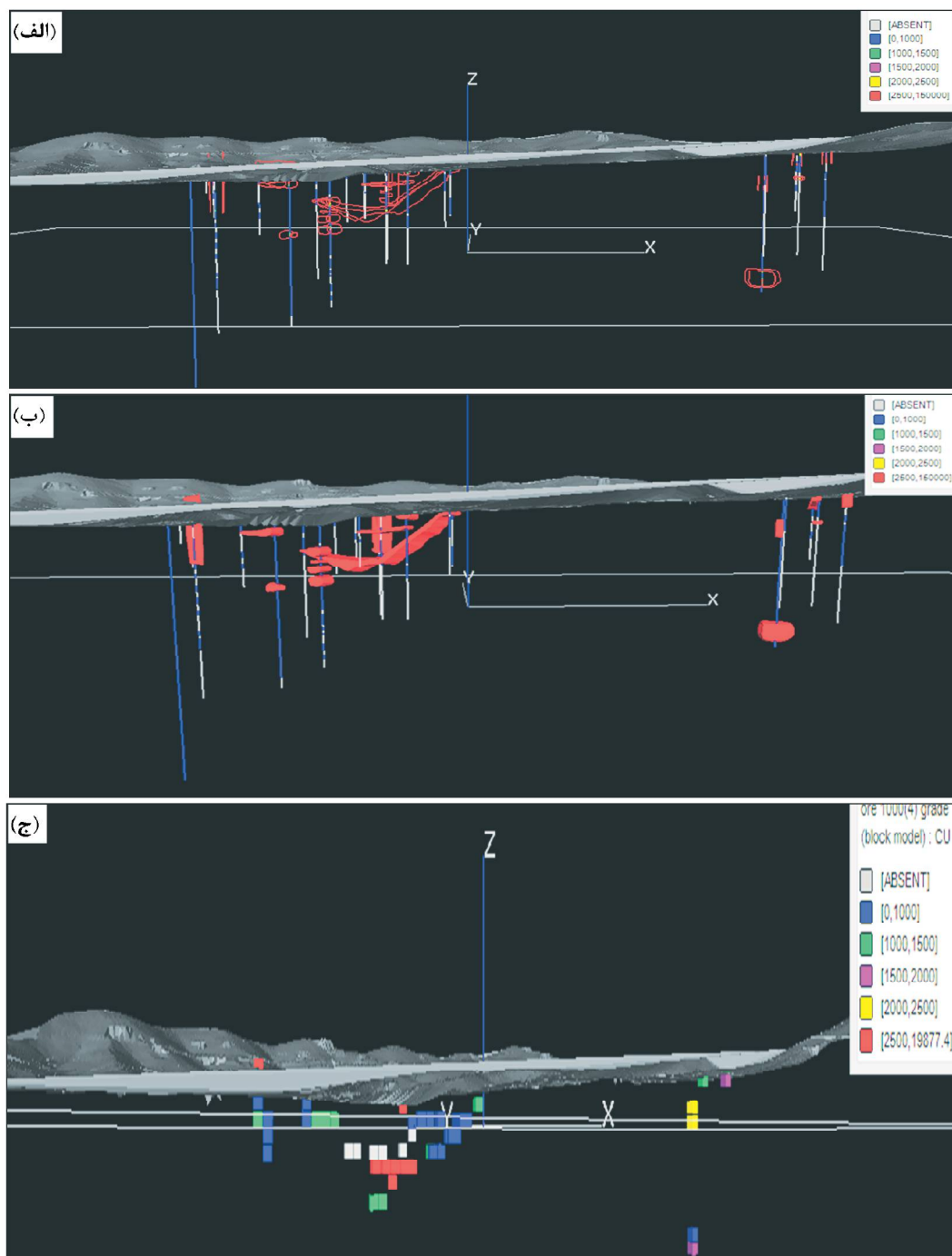
مدل تورسیمی عیار حد های (ppm) ۲۰۰۰ و ۲۵۰۰ (ppm) نشان داد که نسبت به عیار حد های قبلی، تمرکز ماده معنی در دو منطقه شرقی و غربی کانسار کم و بیش به‌طور مساوی تقسیم شده است. این موضوع بیانگر آن است که عیار ماده

سپس بلوك‌بندی کانسار صورت گیرد. به عبارت دیگر با استی شکل هندسی نامنظم به شکل هندسی منظم تبدیل شود تا محاسبه دقیق حجم امکان‌پذیر شود.

به‌طور کلی مراحل ساخت مدل بلوكی در نرم‌افزار Datamine شامل تعیین و محدود کردن حد و مرز ماده معنی از طریق رشته‌بندی^۱، تهیه مدل جامد (تورسیمی^۲) کانسار با استفاده از مدل رشته‌ای و در نهایت بلوك‌بندی مدل جامد کانسار است. سپس در مراحل بعد با استفاده از مدل بلوكی ایجاد شده، تخمین میزان عیار و ذخیره کانسار صورت می‌گیرد. تمامی مراحل این فرآیند برای کانسار مس ناریاغی شمالی برای چهار عیار حد ۱۰۰۰، ۱۵۰۰، ۲۰۰۰ و ۲۵۰۰ (ppm) صورت گرفت. برای ساخت مدل بلوكی کانسار نیز، ابعاد بلوك‌ها برابر با $10 \times 10 \times 2$ متر منظور شد. این ابعاد براساس نوع ماده معنی (مس)، وضعیت و اطلاعات اکتشافی کانسار، طول غالب مغذه‌های حفاری و در نظر گرفتن شرایط استخراج انتخاب شد.

به عنوان نمونه شکل ۱۱-الف مدل رشته‌بندی شده کانسار به ازای عیارهای بالاتر از عیار حد، ۱۱-ب مدل سه‌بعدی جامد (تورسیمی) کانسار از طریق ارتباط دادن رشته‌های کانی‌سازی به یکدیگر و ۱۱-ج مدل بلوكی کانسار با ابعاد بلوك‌های $10 \times 10 \times 2$ متر براساس واریوگرافی منطقه را برای عیار حد (ppm) ۱۰۰۰ نشان می‌دهد. مشاهده

1. String
2. Wireframe
3. Prototype



شکل ۱۱. (الف) مدل سه بعدی رشتہ بندی شده، (ب) مدل سه بعدی جامد (تورسیمی)، (ج) مدل بلوکی کانسار بهازی عیار حد (1000 ppm) ۱۰۰۰ همراه با توبوگرافی منطقه (جهت شمال در راستای محور Z می باشد)

معدنی بخش شرقی منطقه نسبت به بخش غربی، اندکی در جدول ۵ خلاصه شده است.

در این جدول حدود بالا و پایین عیار ماده معدنی نیز در این جدول حدود بالا و پایین عیار ماده معدنی نیز با استفاده از مدل بلوکی ایجاد شده برای کانسار بهازی براساس واریانس تخمین عیار هر بلوك، در سطح اعتماد ۹۵ درصد محاسبه شده است. همان‌گونه که داده‌های این جدول ذخیره خالص ماده معدنی محاسبه شد که نتایج آن

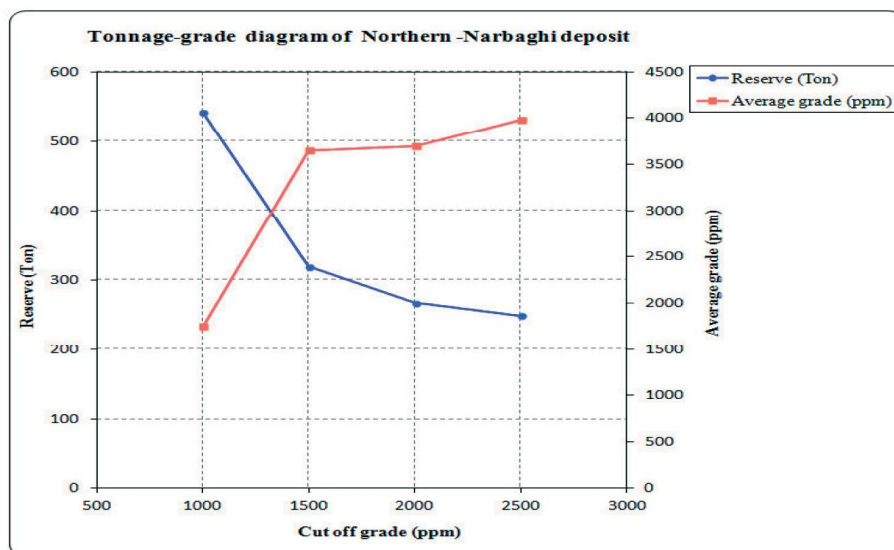
بالاتر است.

با استفاده از مدل بلوکی ایجاد شده برای کانسار بهازی عیار حدهای مختلف، مقدار متوسط عیار، وزن کلی کانسنگ و میزان ذخیره خالص ماده معدنی محاسبه شد که نتایج آن

- دقت) داده‌های اولیه می‌باشد. شکل ۱۲ نیز نمودار عیار- تناز کانسار با روش کریجینگ معمولی بلوکی با استفاده از نرم‌افزار Datamine را نشان می‌دهد.

جدول ۵. نتایج محاسبه متوسط عیار و ذخیره کانسار مس نارباغی شمالی با روش کریجینگ معمولی با نرم‌افزار Datamine

عیار حد (ppm)	حد پایین عیار (ppm)	متوسط عیار (ppm)	وزن کل کانسنگ (تن)	ذخیره خالص ماده معدنی (تن)	نارباغی شمالی
۵۴۱	۳۰۹۳۱۹	۲۳۹۳	۱۷۴۹	۱۱۰۵	۱۰۰۰
۳۱۹	۸۷۳۴۹	۴۱۸۰	۳۶۵۲	۳۱۲۴	۱۵۰۰
۲۶۷	۷۲۲۷۹	۴۲۳۲	۳۶۹۴	۳۱۵۶	۲۰۰۰
۲۴۹	۶۲۵۹۴	۴۳۳۴	۳۹۷۸	۳۶۲۲	۲۵۰۰



شکل ۱۲. نمودار عیار- تناز کانسار مس نارباغی شمالی به روش کریجینگ معمولی با نرم‌افزار Datamine

مقایسه

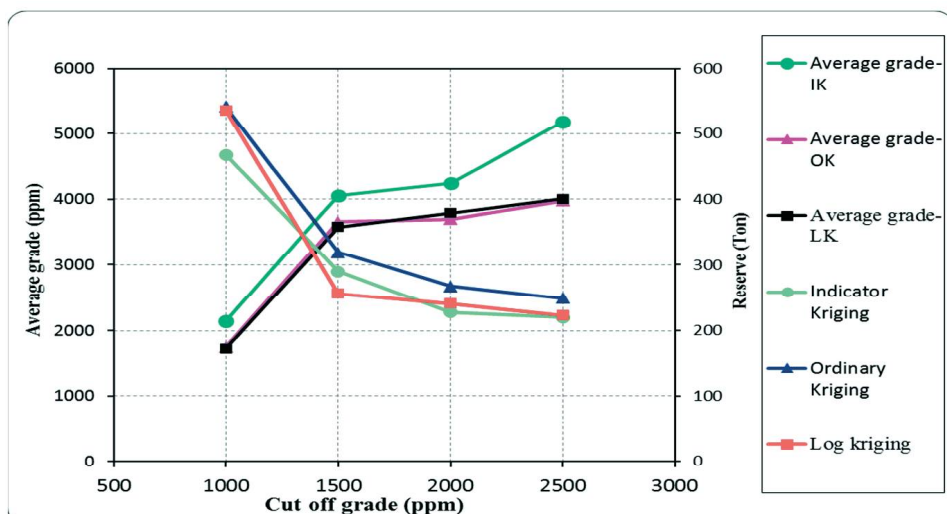
عیار و میزان ذخیره متوسط سه روش مورد استفاده که از دقیق‌ترین روش‌های تخمین نیز می‌باشند، دلیلی بر صحت نتایج و عملکرد پژوهش می‌باشد.

در جدول ۶ علت بالاتر بودن متوسط عیار بهای عیار حدهای مختلف در روش کریجینگ شاخص نسبت به روش‌های دیگر، جداسازی بلوک‌های کانسنگ و باطله در این روش است. به عبارت دیگر این روش تاحدودی از اختلاط کانسنگ و باطله جلوگیری می‌نماید و درنتیجه درجه خلوص بلوک‌های ماده معدنی در این روش از روش‌های دیگر بیشتر است. همچنانی علت بیشتر بودن میزان ذخیره با روش کریجینگ معمولی بلوکی به کمک نرم‌افزار Datamine آن

به منظور ارزیابی نتایج محاسبه ذخیره با روش‌های مختلف لازم است که نتایج حاصل از این روش‌ها با یکدیگر مقایسه شوند. نتایج محاسبه متوسط عیار و میزان ذخیره کانسار نارباغی شمالی با روش‌های مختلف در جدول ۶ خلاصه شده است. در شکل ۱۳ نیز نمودار عیار- تناز کانسار با استفاده از روش‌های مختلف بهای عیار حد ۱۰۰۰، ۱۵۰۰، ۲۰۰۰ و ۲۵۰۰ (ppm) رسم شده است. با توجه به داده‌های جدول ۶ و نمودار شکل ۱۳ مشاهده می‌شود که اختلاف میزان ذخیره محاسبه شده با روش‌های مختلف، چندان زیاد نیست زیرا اساس تمام روش‌های مورد استفاده یکسان است. به طور کلی نزدیک بودن نتایج تخمین متوسط

جدول ۶. نتایج تخمین متوسط عیار و ذخیره کانسار مس ناریاغی شمالی با روش‌های مختلف

روش تخمین ذخیره	عيار حد (ppm)	عيار متوسط (ppm)	میزان ذخیره (تن)
لاگ کریجینگ معمولی بلوکی با استفاده از نرم‌افزار SGeMS	۱۰۰	۱۷۲۸/۰۷۰	۵۳۵/۷۹
کریجینگ شاخص با استفاده از نرم‌افزار SGeMS	۲۰۰	۳۵۷۴/۹۵۶۱	۲۵۵/۷۹
کریجینگ شاخص با استفاده از نرم‌افزار Datamine	۲۵۰۰	۳۷۸۶/۵۷۴۰	۲۴۰/۸۳
کریجینگ معمولی بلوکی با استفاده از نرم‌افزار Log kriging	۱۰۰	۴۰۰۷/۰۵۹۵	۲۲۲/۹۹
کریجینگ معمولی بلوکی با استفاده از نرم‌افزار Ordinary Kriging	۱۵۰۰	۲۱۴۸/۲۷۶	۴۶۸/۲۱
کریجینگ معمولی بلوکی با استفاده از نرم‌افزار Indicator Kriging	۱۵۰۰	۴۰۵۱/۹۰۱	۲۸۹/۶۳
کریجینگ معمولی بلوکی با استفاده از نرم‌افزار Log kriging	۲۰۰۰	۴۲۴۴/۷۴۸	۲۲۷/۶۷
کریجینگ معمولی بلوکی با استفاده از نرم‌افزار Ordinary Kriging	۲۵۰۰	۵۱۷۸/۲۴۹	۲۲۰/۰۴
کریجینگ معمولی بلوکی با استفاده از نرم‌افزار Log kriging	۱۰۰	۱۷۴۹	۵۴۱
کریجینگ معمولی بلوکی با استفاده از نرم‌افزار Ordinary Kriging	۱۵۰۰	۳۶۵۲	۳۱۹
کریجینگ معمولی بلوکی با استفاده از نرم‌افزار Log kriging	۲۰۰۰	۳۶۹۴	۲۶۷
کریجینگ معمولی بلوکی با استفاده از نرم‌افزار Ordinary Kriging	۲۵۰۰	۳۹۷۸	۲۴۹



شکل ۱۳. نمودار عیار-تناز کانسار مس ناریاغی شمالی با روش‌های مختلف

مورد استفاده قرار گیرد، به عوامل زیادی از جمله شرایط و خصوصیات کانسار، وضعیت داده‌های اکتشافی و میزان شناخت از کانسار بستگی دارد. بدیهی است که هریک از روش‌های مورد استفاده در پژوهش حاضر نسبت به دیگری دارای یک سری مزایا و معایب می‌باشند. به عنوان مثال سادگی روش تخمین لاگ کریجینگ معمولی از مزیت‌های این روش نسبت به دیگر روش‌های تخمین است و در مقابل عدم امکان بازیابی درست واریانس تخمین، از معایب آن است. جداسازی باطله از کانسنگ از مزایای روش تخمین کریجینگ شاخص است و پیچیدگی نسبی آن، از معایب این روش می‌باشد. بکارگیری حداکثری دانش و شناخت از

است که در این روش در تعیین گسترش جانی ماده معدنی در فواصل عمقی کانیسازی شده در داخل گمانه‌ها (منطقه تاثیرگمانه‌ها)، دخالت کاربریا سلیقه شخصی عملگر (اپراتور) تاثیرگذار است. به عبارت دیگر در این روش دانش کاربر و شناخت وی از وضعیت کانسار، تاثیر زیادی بر روی میزان ذخیره محاسبه شده، می‌گذارد.

نتیجه‌گیری

در پژوهش حاضر از روش‌های تخمین زمین‌آماری خطی و غیرخطی بهمنظور ارزیابی ذخیره کانسار مس ناریاغی شمالی ساوه استفاده شد. اما پاسخ این سوال که کدام روش بهتر بوده و نتایج کدام روش دقیق‌تر است و همواره باید

منابع

- احمدی، ر.، ۱۳۸۸. کاربرد الگوهای آماری در ارزیابی ذخایر معدنی با نگرشی بر معدن مس علی‌آباد بیزد. گزارش طرح پژوهشی طرف قرارداد با دانشگاه علم و صنعت اراک، ۱۰۲.
- احمدی، ر.، ۱۳۹۸. درسنامه دیجیتال (الکترونیکی) ارزیابی ذخایر معدنی. انتشارات دانشگاه صنعتی اراک، ۲۵۰.
- پیچاب کانسار، مهندسین مشاور، ۱۳۹۴. گزارش پایانی عملیات اکتشافی در محدوده اکتشافی مس ناریاغی شمالی، ۳۵۶.
- جلالی، م.، رحیمی پور، غ.ل.، دیانتی، م.ر. و تقوایی نژاد، م.، ۱۳۸۸. بررسی اعتبار برآوردگرهای کریجینگ خطی و غیرخطی در پهنه‌بندی بلوک‌های کانسنسنگ و باطله در معدن مس سرچشم. کنفرانس ملی علوم زمین، سال بیستم، ۷۹.
- حسنی پاک، ع.ا. و شرف‌الدین، م.، ۱۳۸۰. تحلیل داده‌های اکتشافی، انتشارات دانشگاه تهران، ۹۸۷.
- حسنی پاک، ع.ا. و خالصی، م.ر.، ۱۳۸۲. مدیریت خطاب و ریسک در اکتشاف، موسسه چاپ و انتشارات دانشگاه تهران، ۳۸۲.
- حسنی پاک، ع.ا.، ۱۳۷۷. زمین‌آمار (ئواستاتیستیک)، انتشارات دانشگاه تهران، ۳۱۴.
- قاجار، ی. و سلطانی محمدی، س.، ۱۳۹۳. مقایسه روش‌های کریجینگ شاخص و لاغ کریجینگ در تفکیک کانسنسنگ‌های هماتیتی و مگنتیتی در معدن آهن جلال‌آباد، همایش ملی زمین‌شناسی و اکتشاف منابع، شیراز.
- کایدانی، م. و دلبزی، م.، ۱۳۸۹. پهنه‌بندی شوری خاک و ارزیابی ریسک شوری در منطقه میانکنگی (سیستان) با استفاده از روش‌های زمین‌آماری، مجله علمی کشاورزی، ۱، ۳۵-۶۰.
- مدنی، ح.، ۱۳۷۴. مبانی زمین‌آمار. انتشارات دانشگاه صنعتی امیرکبیر- واحد تفرش، ۶۵۹.
- مدنی، ح.، ۱۳۷۶. اصول پی‌جوبی، اکتشاف و ارزیابی ذخایر معدنی. انتشارات خانه فرهنگ، ۸۱۶.
- Alavi, M., 1991. Sedimentary and structural characteristics of the paleo-Tethys remnants in Northeastern Iran. Geological Society of America

کانسار در مرحله تخمین و امکان محاسبه واریانس تخمین، از مزایایی روش تخمین کریجینگ معمولی با استفاده از نرم‌افزار Datamine است و در مقابل اثر تناسب واریانس با میانگین و پیدایش ناهمسانگردی منطقه‌ای دروغین (در صورت غیرنرمال بودن توزیع داده‌های خام) از معایب آن است.

بنابراین نمی‌توان همواره و برای تمامی کانسارهای مختلف، نسخه واحدی تجویز کرد و روش واحدی توصیه شود؛ بلکه ممکن است برای کانسارهای مختلف، روش‌های متفاوتی کارآیی بهتری داشته باشد. به طورکلی برای دستیابی به بهترین پاسخ و مطلوب‌ترین نتیجه، بهتر است که برای محاسبه ذخیره یک کانسار از چند روش مختلف بهره‌وری از روش‌های نوین و دقیق زمین‌آماری استفاده کرد. چرا که تکیه بر نتایج تنها یک روش، از ریسک بالایی برخوردار است و احتمال خطاهاي نظامدار وجود دارد. معقولانه‌ترین تصمیم، استفاده از چند روش دقیق مختلف و متوسطگیری از نتایج آنها می‌باشد.

به‌منظور بهبود نتایج به‌دست آمده از پژوهش، پیشنهاد می‌شود که وزن مخصوص ماده معدنی در نقاط مختلف کانسار به روش آزمایشگاهی و با دقت زیاد تعیین شود. سپس با روش شبیه‌سازی شاخصی و تعیین جنس، به هر بلوك وزن مخصوص دقیق آن نسبت داده شود. همچنین برای تخمین ذخیره منطقه مورد مطالعه، از دیگر روش‌های تخمین کریجینگ همانند کریجینگ ناپیوسته و یا شبیه‌سازی متوالی گوسی نیز استفاده شود و نتایج تخمین آنها با نتایج پژوهش حاضر مورد مقایسه قرار گیرد.

سپاسگزاری

نگارنده مقاله بر خود لازم می‌داند از مدیر عامل محترم شرکت زاگرس مس‌سازان و تمام کارکنان مجتمع معدنی مس ناریاغی، به‌خاطر همکاری‌های ارزنده در خصوص زمینه‌سازی امکان بازدید از منطقه، نمونه‌برداری و در اختیار قرار دادن کلیه اطلاعات و داده‌های اکتشافی مورد نیاز، کمال تقدیر و تشکر را به عمل آورد.

- Bulletin, 103, 8, 983–992.
- Annels, A.E., 2012. Mineral Deposit Evaluation: A Practical Approach, Chapman and Hall, London, XV, 436.
 - Bohling, G., 2007. SGeMS Tutorial Notes in Hydrogeophysics: Theory, Methods, and Modeling. Boise State University, Boise, Idaho, 26.
 - Choudhury, S., 2015. Comparative Study on Linear and Non-Linear Geostatistical Estimation Methods: A Case Study on Iron Deposit. Procedia Earth and Planetary Science, 11, 131–139.
 - Gossage, B., 1998. The Application of indicator kriging in the modeling of geological Data, Proceedings of a one day symposium: Beyond ordinary kriging. October 30th, Perth Western Australia. Geostatistical Association of Australasia.
 - Journel, A.G., 1983. Nonparametric estimation of spatial distributions. Mathematical Geology, 15, 445–468.
 - Journel, A.G., 1989. Fundamentals of Geostatistics in Five Lessons, Short Course in Geology. American Geophysical Union, 8, 57.
 - Remy, N., Boucher, A. and Wu, J., 2006. SGeMS User's Guide. Stanford University, Stanford, 129.
 - Remy, N., Boucher, A. and Wu, J., 2009. Applied Geostatistics with SGeMS: A User's Guide. Cambridge University Press, New York, 284.
 - Rendu, J.M., 1981. An Introduction to Geostatistical Methods of Mineral Evaluation, South African Institute of Mining and Metallurgy Monograph Series, Johannesburg, 84.
 - Stoecklin, J., 1968. Structural history and tectonics of Iran: A Review. American Association of Petroleum Geologists, 52, 7, 1229–1258.
 - Switzer, P., 1977. Estimation of spatial distributions from point sources with application to air pollution measurement. Bulletin of the International Statistical Institute, 47, 123–137.